

©1994 г.

## НЕЛИНЕЙНОЕ ПОГЛОЩЕНИЕ СВЕТА В СИЛЬНО ЛЕГИРОВАННОМ $n$ -InP В БЛИЗИ КРАЯ ФУНДАМЕНТАЛЬНОГО ПОГЛОЩЕНИЯ

*С.А.Быстрикович, Р.Г.Запорожченко\*, В.Л.Малевич, Ф.В.Карпушко,  
Г.В.Синицын, И.А.Уткин*

Отдел Оптических проблем информатики Академии наук Беларуси,  
220072, Минск, Беларусь  
(Получена 3 августа 1993 г. Принята к печати 24 декабря 1993 г.)

В работе проведены экспериментальные исследования нелинейного оптического пропускания сильно легированного слабо компенсированного  $n$ -InP:Sn в спектральной области близи края фундаментального поглощения. На основе квазиклассической модели флуктуационных уровней рассчитаны нелинейные спектры пропускания. Показано, что в данной области спектра существенную роль в наблюдаемом эффекте просветления играет экранирование хвоста плотности состояний неравновесными носителями заряда.

Нелинейный характер взаимодействия света с полупроводниками  $A^{III}B^V$  в спектральной области близи края фундаментального поглощения обусловлен в основном двумя механизмами — заполнением состояний фотовозбужденными носителями [1–3] (динамический эффект Бурштейна–Мосса) и перенормировкой электронного спектра, связанной с кулоновским взаимодействием в электронно–дырочной плазме [4,5]. В приближении самосогласованного поля второй механизм можно рассматривать как экранирование кулоновского взаимодействия фотовозбужденной электронно–дырочной плазмой. Это, как известно, приводит к сужению запрещенной зоны полупроводника [6,7], экранированию примесных и экситонных (как связанных [4,8,9], так и несвязанных [4]) состояний.

В сильно легированных полупроводниках экситонные и примесные состояния, сливааясь с краем зоны, образуют хвосты плотности состояний в запрещенной зоне, которые определяют краевое поглощение света в слабокомпенсированных вырожденных полупроводниках [10]. При

\* Институт физики Академии наук Беларуси, 220072, Минск, Беларусь

сильном фотовозбуждении потенциал случайно распределенной примеси, формирующей хвосты плотности состояний, экранируется неравновесной электронно-дырочной плазмой, что в свою очередь приводит к уменьшению коэффициента поглощения [11,12].

Таким образом, в сильно легированных слабо компенсированных полупроводниках вблизи края фундаментального поглощения можно условно выделить следующие механизмы оптической нелинейности: динамический эффект Бурштейна-Мосса, уменьшение ширины запрещенной зоны и экранирование хвостов плотности состояний фотовозбужденными носителями.

В настоящей работе теоретически и экспериментально исследовалось нелинейное пропускание сильно легированного фосфида индия в спектральной области 930÷960 нм. Хотя данный материал широко используется в оптоэлектронике, его нелинейные оптические свойства практически не исследовались. Вместе с тем в экспериментах по самодифракции света мы наблюдали достаточно сильную оптическую нелинейность в сильно легированном  $n$ -InP [13].

Экспериментальный образец представлял собой пластину толщиной 200 мкм, вырезанную из монокристаллического  $n$ -InP с концентрацией примеси (Sn)  $10^{18}$  см<sup>-3</sup>. Поверхности образца подвергались химико-механической полировке. Для уменьшения интерференционных эффектов на обе стороны пластины были нанесены просветляющие покрытия из Al<sub>2</sub>O<sub>3</sub>, в результате чего коэффициенты отражения от передней и задней поверхностей составили 8 и 26% соответственно.

Нелинейное пропускание образца исследовалось при помощи автоматизированного лазерного спектрометра. В качестве источника когерентного излучения использовался лазер на центрах окраски LiF:F<sub>2</sub><sup>+</sup>, накачиваемый второй гармоникой YAG:Nd-лазера с пассивной модуляцией добротности. Диапазон перестройки лазера составлял 865÷990 нм, энергия в импульсе в одномодовом режиме была около 80 мкДж при длительности импульса по основанию 8 нс и спектральной ширине линии генерации 6 Å. Излучение фокусировалось в гауссовом пятне диаметром  $d = 1.1$  мм на уровне  $1/e^2$ .

Пропускание образца измерялось по двухлучевой схеме. В каждой спектральной точке регистрировалась величина пропускания  $T_0 = W_t/W_i$ , где  $W_i$  — энергия падающего,  $W_t$  — энергия прошедшего импульсов. Измеренное таким образом пропускание усреднялось по 20 импульсам. Для повышения точности измерений использовались «энергетические ворота» с целью исключения из обработки импульсов с энергией, отличающейся от предварительно измеренного среднего значения более чем на 10%. Плавное ослабление мощности падающего излучения осуществлялось при помощи электрооптического модулятора. Точность измерения была не ниже  $5 \cdot 10^{-3}$  от абсолютного значения пропускания. Все эксперименты проводились при комнатной температуре. Спектральные зависимости пропускания, измеренные при различных значениях энергий падающего импульса, представлены на рис. 1.

В сильно легированных и слабо компенсированных полупроводниках  $n$ -типа проводимости поглощение света в спектральной области вблизи края фундаментального поглощения в основном обусловлено

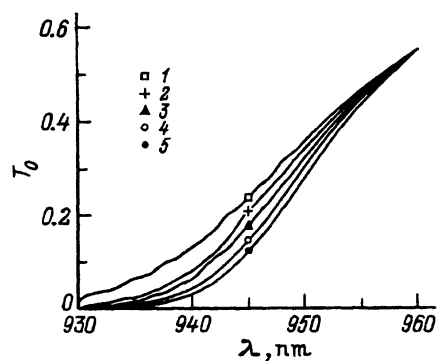


Рис. 1. Спектральные зависимости пропускания  $T_0$ . Энергия падающих импульсов  $W_i$ , мкДж: 1 — 65, 2 — 40, 3 — 20, 4 — 10, 5 — 3.

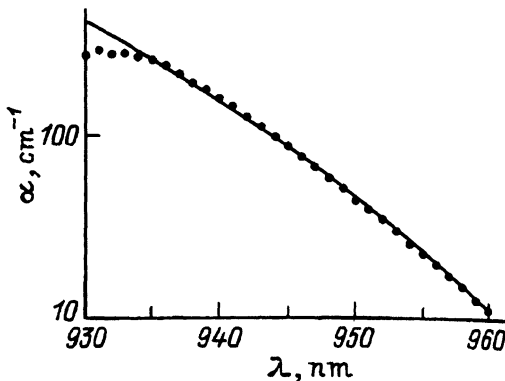


Рис. 2. Спектральная зависимость линейного коэффициента поглощения  $\alpha$ : точки — эксперимент, сплошная линия — теоретический расчет согласно (5).

непрямыми переходами электронов из хвоста валентной зоны в зону проводимости [10]. Соответствующее выражение для коэффициента поглощения  $\alpha$  на частоте  $\omega$  можно представить в виде [14]

$$\alpha(\omega) = \frac{4\pi^2 e^2}{c\bar{n}m_0^2\omega} \int d\varepsilon \int d\varepsilon' g_c(\varepsilon)g_v(\varepsilon') \left| M_{c,v}(\varepsilon, \varepsilon') \right|^2 \times \\ \times \left[ f_v(\varepsilon') - f_c(\varepsilon) \right] \delta(\varepsilon - \varepsilon' - \hbar\omega), \quad (1)$$

где  $g_{c,v}(\varepsilon)$  — плотности состояний соответственно в зоне проводимости и в валентной зоне,  $f_{c,v}(\varepsilon)$  — функции распределения электронов по энергиям в зонах,  $c$  — скорость света в вакууме,  $\bar{n}$  — показатель преломления,  $m_0$  — масса свободного электрона,  $M_{c,v}(\varepsilon, \varepsilon')$  — матричный элемент импульса для межзонных переходов.

Как следует из оценок, в рассматриваемой здесь спектральной области и при используемых интенсивностях света двухфотонными переходами и поглощением на фотовозбужденных носителях можно пре-небречь. Поэтому для анализа экспериментальных данных по нелинейному пропусканию будем пользоваться выражением (1), учитывая при этом, что такие параметры, как ширина запрещенной зоны  $\varepsilon_g$ , квазиуровни Ферми для электронов ( $\mu_e$ ) и для дырок ( $\mu_h$ ), а также параметр  $\gamma$ , характеризующий ширину хвоста плотности состояний, зависят от концентрации электронно-дырочной плазмы, которая в свою очередь определяется интенсивностью излучения и скоростью межзонной рекомбинации.

Плотность состояний в валентной зоне будем описывать на основе квазиклассической модели флуктуационных уровней [10]. Соответствующее выражение для  $g(\varepsilon)$  имеет вид

$$g_v(\varepsilon) = \frac{m_h^{3/2} \gamma^{1/2}}{2^{5/4} \pi^2 \hbar^3} \exp \left[ -\frac{(\varepsilon + \varepsilon_g)^2}{2\gamma^2} \right] D_{-3/2} \left[ \frac{\sqrt{2}(\varepsilon + \varepsilon_g)}{\gamma} \right]. \quad (2)$$

Здесь  $D_{-3/2}(x)$  — функция параболического цилиндра,  $m_h$  — эффективная масса дырки. Величина параметра  $\gamma$  определяется как удвоенное значение среднеквадратичной потенциальной энергии электрона в поле примеси [10]:

$$\gamma = \frac{e^2}{\varepsilon_0 r_0} (4\pi N r_0^3)^{1/2}, \quad (3)$$

где  $r_0$  — радиус экранирования,  $N$  — концентрация ионизованной примеси,  $\varepsilon_0$  — статическая диэлектрическая проницаемость. В выражении (2) энергия отсчитывается вверх от дна зоны проводимости.

Поскольку конечная энергия возбужденного электрона лежит в зоне проводимости вблизи уровня Ферми (в нашем случае уровень Ферми в равновесии лежит на 38 мэВ выше дна зоны проводимости), для  $g_c(\varepsilon)$  можно пользоваться обычным выражением для плотности состояний в параболической зоне, полагая при этом, что наличие хвоста плотности состояний вблизи дна зоны проводимости приводит к опусканию уровня Ферми на величину  $\Delta\mu_e$ , которую можно вычислить по формуле [10]

$$\Delta\mu_e = \gamma^2 / 8\mu_e. \quad (4)$$

Предполагая распределение носителей в зонах локально-равновесным, а матричный элемент перехода независящим от энергии, коэффициент поглощения можно представить в виде

$$\alpha(\omega) = K \gamma^{3/2} \int_0^\infty d\varepsilon \sqrt{\varepsilon} \exp\left(-\frac{(\varepsilon + \varepsilon_g - \hbar\omega)}{2\gamma^2}\right) D_{-3/2}\left(\frac{\sqrt{2}(\varepsilon + \varepsilon_g - \hbar\omega)}{\gamma}\right) \times \\ \times \left( \left[ 1 + \exp\left(\frac{\varepsilon - \hbar\omega - \mu_e}{k_b T}\right) \right]^{-1} + \left[ 1 + \exp\left(\frac{\varepsilon - \mu_h}{k_b T}\right) \right]^{-1} \right), \quad (5)$$

где  $T$  — температура кристалла,  $k_b$  — постоянная Больцмана. Коэффициент  $K$  определяется параметрами полупроводника, которые практически не зависят от длины волны и энергии возбуждающего излучения.

На основании формулы (5) численно рассчитывалась спектральная зависимость линейного поглощения  $n$ -InP в области длин волн 930÷960 нм. Расчет проводился при следующих значениях параметров:  $m_h = 0.3m_0$ ,  $m_e = 0.077m_0$ ,  $T = 300$  К,  $\varepsilon_0 = 12.4$ . Значение  $\varepsilon_g$  выбиралось равным 1.325 эВ, что на 0.020 эВ меньше, чем в собственном InP [15]. Данная поправка учитывает уменьшение ширины запрещенной зоны за счет обменного электрон-электронного взаимодействия, и достаточно хорошо описывается формулой  $\Delta\varepsilon_g = -\lambda_c(n^{1/3} + p^{1/3})$ , где  $\lambda_c = 2 \cdot 10^{-8}$  эВ·см [6,7],  $n$  и  $p$  — концентрации электронов и дырок соответственно. Величина параметра  $\gamma$  находилась из условия наилучшего согласия результатов расчета и экспериментально измеренной спектральной зависимости  $\alpha(\omega)$  в области длин волн 935÷960 нм, где влияние хвоста плотности состояний наиболее существенно, и составляла  $\gamma = 32$  мэВ. Эта величина близка к значению, рассчитанному по формуле (3). Такое совпадение, по-видимому, свидетельствует о малости температурного (урбаховского) уширения края зоны по сравнению с примесным. Как видно из рис. 2, формула (5) хорошо описывает

спектральную зависимость линейного поглощения в длинноволновой области. Значительное расхождение имеет место в коротковолновой области ( $\lambda < 935$  нм). По-видимому, это связано с тем, что в коротковолновой области спектра возрастает роль прямых переходов, которые в (5) не учитываются.

Зависимость нелинейного пропускания образца от плотности энергии падающего излучения анализировалась на основе численного решения системы уравнений для огибающей поля  $E$  и концентрации носителей  $n$ :

$$\frac{\partial E}{\partial z} + \frac{1}{v} \frac{\partial E}{\partial t} = -\frac{1}{2} \alpha(n) E, \quad (6)$$

$$\frac{\partial n}{\partial t} = -\frac{(n - n_0)}{\tau} + \frac{\alpha(n)}{\hbar\omega} I(z, t). \quad (7)$$

В уравнениях (6), (7)  $v$  — групповая скорость световой волны в среде,  $I(z, t) = cnE^2/8\pi$  — интенсивность излучения,  $n_0$  — равновесная концентрация электронов,  $\tau$  — время жизни носителей; ось  $z$  направлена от поверхности в глубь образца. В уравнении (7) мы пренебрегли диффузией, так как за время действия импульса она несущественно влияет на пространственное распределение неравновесных носителей.

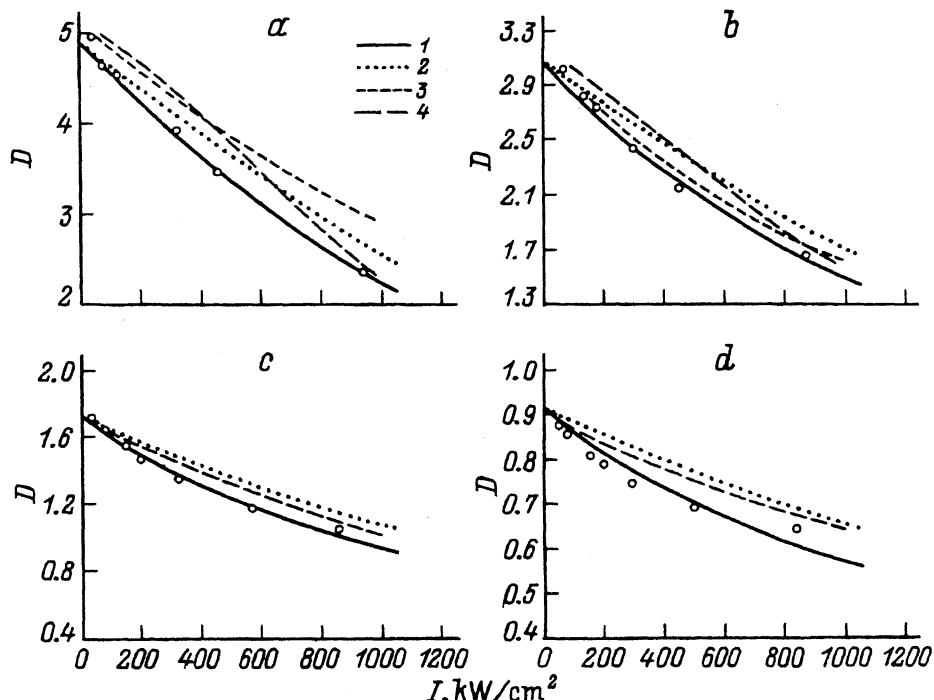


Рис. 3. Зависимость оптической плотности  $D$  от интенсивности падающего излучения  $I$  (среднее значение в импульсе). Точки — эксперимент, линии — расчет: 1 — модель хвостов плотности состояний с учетом эффекта экранирования; 2 — то же без учета экранирования; 3 — модель прямых переходов; 4 — полуэмпирическая модель [16].  $\lambda$  нм: а — 935, б — 940, в — 945, г — 950.

Зависимость коэффициента поглощения света от концентрации неравновесных электронно-дырочных пар  $\alpha(n)$  рассчитывалась численно на основе формулы (5), в которую подставлялись параметры полупроводника  $\epsilon_g$ ,  $\gamma$ ,  $\mu_e$  и  $\mu_h$ , зависящие от  $n$  и  $p$ . Квазиуровни Ферми рассчитывались численно с использованием приведенных выше выражений (2), (4) для плотности состояний. Изменение величины  $\gamma$  в процессе возбуждения вычислялось по формуле (3), в которой использовался радиус экранирования, зависящий от  $n$ . Анализ формы падающего и прошедшего через образец импульсов позволил оценить время релаксации:  $\tau \leq 10$  нс. В расчетах мы полагали  $\tau = 8$  нс, при этом достигалось наилучшее согласие результатов расчета с экспериментальными данными.

На рис. 3 представлены результаты расчета зависимости оптической плотности  $D(W_i)$  по формулам (5)–(7) для четырех длин волн (кривые 1). Как видно, в области коротких волн теоретические кривые хорошо согласуются с экспериментальными данными. В длинноволновой области имеет место более существенное расхождение данной модели с экспериментом. Можно предположить, что в данной области спектра заметную роль играет небольшое остаточное ненасыщающееся поглощение.

Для выяснения роли экранирования в насыщении поглощения был проведен расчет нелинейного пропускания без учета экранирования в процессе фотовозбуждения, т.е. предполагалось, что величина  $\gamma$  не зависит от  $n$ . Результаты расчета представлены на рис. 3 (кривые 2). Можно видеть, что уменьшение хвостов плотности состояний в результате экранирования флукутирующего потенциала ионизованных примесей приводит к более крутой зависимости  $D(W_i)$  [12], причем относительный вклад эффекта экранирования в насыщение поглощения более существен в длинноволновой области спектра.

Для сравнения на рис. 3 приведены также зависимости оптической плотности от энергии падающего излучения, рассчитанные на основе модели прямых переходов и полуэмпирической модели, предложенной в [16] (кривые 3 и 4 соответственно). Как можно видеть, данные модели дают худшее согласие с экспериментом.

Таким образом, учет хвостов плотности состояний в запрещенной зоне сильно легированного фосфида индия позволяет достаточно хорошо описать нелинейное поглощение света в краевой области спектра. Показано, что наряду с динамическим эффектом Бурштейна–Мосса существенный вклад в просветление данного полупроводника дает эффект экранирования потенциала ионизованной примеси неравновесными носителями в процессе фотовозбуждения.

#### Список литературы

- [1] В.П. Грибковский. Теория испускания и поглощения света в полупроводниках. Минск (1976).
- [2] D.A.B. Miller, C.T. Seaton, M.E. Prise, S.D. Smith. Phys. Rev. Lett., **47**, 197 (1981).
- [3] S.W. Koch, S. Schmitt-Rink, H. Haug. Phys. St. Sol. (b), **106**, 135 (1981).
- [4] C. Klingshirn, H. Haug. Phys. Rep., **70**, 315 (1981).
- [5] L. Banyai, S.W. Koch. Z. Phys. B, **63**, 283 (1986).
- [6] J. Camarrel, D. Auvergne, H. Mathien. J. Appl. Phys., **46**, 2683 (1975).
- [7] H.C. Casey, Jr.F. Stern. J. Appl. Phys., **47**, 631 (1976).

- [8] В.Л. Бонч-Бруевич. Итоги науки. Физика твердого тела. М. (1965).
- [9] С.А. Гуревич, А.Е. Федорович, Ф.В. Федоров. ФТП, **25**, 769 (1991).
- [10] Б.И. Шкловский, А.Л. Эфрос. Электронные свойства легированных полупроводников. М. (1979).
- [11] М.П. Лисица, Н.Р. Кулиш, А.Ф. Мазниченко. ФТП, **17**, 73 (1983).
- [12] В.К. Кононенко. ЖПС, **41**, 106 (1984).
- [13] S.A. Bystrimovich, F.V. Karpushko, I.A. Utkin. SPIE Proc, **1807** (1993).
- [14] G. Lasher, F. Stern. Phys. Rev.,**133**, 553 (1964).
- [15] А.Н. Пихтин, А.Д. Яськов. ФТП, **12**, 1047 (1978).
- [16] V.P. Gribkovskii, R.G. Zaporozchenko, V.A. Zyulkov, A.E. Kazachenko, V.I. Lozovsky. Superlatt Microstruct., **10**, 441 (1991).

Редактор Л.В. Шаронова

---